

同一仕様プロジェクトを利用したコードクローンの影響調査

肥後 芳樹^{1,a)} 松本 真佑¹ 楠本 真二¹ 藤波 崇志² 星野 隆²

受付日 2018年4月18日, 採録日 2018年9月7日

概要: ソースコード中のコードクローンの存在は、ソフトウェアの保守性を悪化させる1つの要因であるといわれている。しかしその一方で、コードクローンに対して同時に変更が行われることはあまりなく、コードクローンの存在が問題を引き起こすことは少ないという調査報告もある。また、コードクローンはソフトウェア開発に有用であると報告している研究もある。この論文では、コードクローンメトリクスとテストケース数や検出バグ数といったプロジェクトメトリクス間の相関分析の結果を報告する。この分析対象は9つのウェブシステムであり、同一の仕様に基づいて異なる組織によって開発された。つまり、これらは機能が同一であり実装が異なるシステムである。この9つのシステムを対象とすることで、実装の違いとプロジェクトメトリクス間の関係を調査できる。調査の結果、コードクローンが多く存在しているプロジェクトほど実装の速度が速いことが分かった。また、コードクローンの存在によりバグの発見が遅れてしまう傾向にあることが分かった。

キーワード: コードクローン, ソフトウェアメトリクス, ソフトウェアテスト

Investigating Effects of Code Clones by Using the Same Specification Projects

YOSHIKI HIGO^{1,a)} SHINSUKE MATSUMOTO¹ SHINJI KUSUMOTO¹
TAKASHI FUJINAMI² TAKASHI HOSHINO²

Received: April 18, 2018, Accepted: September 7, 2018

Abstract: The presence of code clones is considered as one of the factors that makes software maintenance more difficult. On the other hand, there are some research studies showing that most code clones are not changed after they are created. Other studies showed that clones are even better in some situations. In this paper, we report results of our correlation analysis between clone metrics and project metrics such as the number of test cases and the number of found bugs. The experimental targets are nine software systems developed by different organizations. All the systems have the same specification. By targeting the systems, we can investigate relationships between implementation differences and project metrics. As a result, we found that systems include many clones were implemented more rapidly than other systems. We also found that bugs tend to be detected in late processes if the systems include many clones.

Keywords: code clone, software metrics, software testing

1. はじめに

コードクローン (以降, クローン) の存在はソースコード

の保守作業を困難にするといわれている。クローンが保守作業に対して悪影響を与える原因の1つとして複数箇所への同時変更があげられる。あるクローンを変更した場合には、それと対応するクローンも変更する必要があるとされている。もし、同時に変更が行われなかった場合にはソースコード中に一貫性の欠如が発生してしまい、それが後にバグとしてソフトウェアに不具合をもたらしてしまう。

クローンに関する問題の支援として、これまでにさまざまな研究が行われている [19], [26], [28], [30]。また、同時

¹ 大阪大学大学院情報科学研究科コンピュータサイエンス専攻
Computer Science, Graduate School of Information Science
and Technology, Osaka University, Suita, Osaka 565-0871,
Japan

² 日本電信電話株式会社ソフトウェアイノベーションセンタ
NTT Software Innovation Center, Nippon Telegraph and
Telephone Corporation, Minato, Tokyo 108-0075, Japan

a) higo@ist.osaka-u.ac.jp

変更の観点からクローンの存在がソースコードの保守性に与える悪影響について、いくつか調査が行われてきている [1], [5], [7], [11], [12], [15], [27], [29]. これまでの調査により、すべてのクローンが保守作業に悪影響を与えているわけではないが、バグの原因となるクローンも確かに存在しているということが分かってきた。

著者らは、クローンの存在がどのようにソフトウェア開発や保守に影響を及ぼすのかについて研究を行っている。この論文では、コードクローンメトリクスとさまざまなプロジェクトメトリクスの相関分析の結果を報告する。調査対象は9つのウェブシステムであり、それらはすべて異なる組織により開発されたものである。これらのウェブシステムを調査対象として選定した理由は、それらが同一の仕様に基づいて開発されたシステムであるからである。つまり、それらは同一の機能を有しているが実装が異なるシステムである。これらのシステムの実装の違い（クローンメトリクスの違い）とプロジェクトメトリクスを比較することで、クローンがソフトウェア開発および保守に与える影響を考察する。

以降、本論文は2章で、対象プロジェクトについて述べる。次に、3章でクローンに関する説明を行い、4章で利用したプロジェクトメトリクスを紹介する。5章では実験の結果を報告し、6章では実験の妥当性について述べる。最後に8章で本論文をまとめる。

2. 対象プロジェクト

図1は対象プロジェクトの概要を表している。このプロジェクトはWebベースの在庫管理システムである。このシステムの画面数は11、および帳票数は2であり、32種類の処理を持つ。ファンクションポイント数は113FPである。

このシステムは実験用プロジェクトであり、ある組織が詳細設計の仕様書を作成し、異なる9つの組織が実装およびテストを行った。以降、仕様を作成した組織を発注元、

実装およびテストを行った組織をベンダーと呼ぶ。9つのベンダー ($V_A \sim V_I$) は、それぞれ独立して開発を行った。また、発注元はすべてのベンダーに対して、画面処理（クライアントサイド）はJSP、業務処理（サーバサイド）はJavaを用いて実装するように依頼した。このシステムは同一仕様に基づいて開発された、実装の異なるソフトウェアである。なお、開発時の条件をできる限り揃えるために、システム開発経験が浅い新人や突出したスキルを持つ有識者はこのシステムの開発には加わっていない。

個々のベンダーはそれぞれテストを行い、テストをパスした最終版のソースコードが発注元に納品された。この実験の対象はJavaで記述された業務処理部分であり、図1では、以下のコンポーネントである。

- オンライン登録系処理
- オンライン更新系処理
- オンライン一覧照会処理
- オンラインバッチ集計処理
- オンライン集計処理
- バッチマスター登録処理

表1に示すように、Javaで記述された業務処理部分のソースコード規模は約20,000~44,000行（約15,000~24,000ステップ数）である。発注元でも納品されたソース

表1 対象プロジェクトのソースコード規模
Table 1 Source code size of target projects.

ベンダー	ソースコード規模
V_A	約 29,000 行
V_B	約 43,000 行
V_C	約 44,000 行
V_D	約 41,000 行
V_E	約 39,000 行
V_F	約 39,000 行
V_G	約 20,000 行
V_H	約 27,000 行
V_I	約 33,000 行

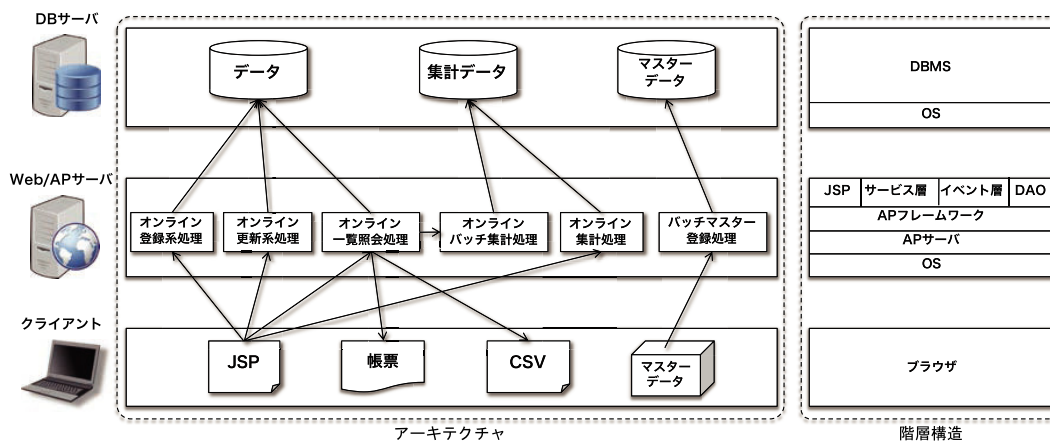


図1 対象システムの概要

Fig. 1 An overview of the target systems.

コードに対してテストを行った。以降、ベンダーが行ったテストをベンダーテスト、発注元が行ったテストを受入テストと呼ぶ。ベンダーテストと受入テストはそれぞれ以下の3つのテストからなる。

単体テスト (UT) 各モジュール単体での動作を検査するためのテスト。

結合テスト (IT) モジュール間の引数や返り値の受け渡し、データベースを介したデータのやり取り等を検査するためのテスト。

システムテスト (ST) システムに対して実際と同じような入力を与え、システム全体が要求された仕様どおりに動作するかを検査するためのテスト。

3. コードクローン

この章では、クローンの種類ならびにクローンに関する既存調査について述べる。

3.1 定義

クローンは、その類似度に基づいて一般的に以下の3種類に分類される。

TYPE-1 空白、タブ、改行文字、コメント等のソフトウェアの振舞いに影響を与えないソースコード中の要素を除いて完全に同一のクローン。

TYPE-2 変数名や関数名等のユーザ定義名の違いやリテラルの違いのような字句単位での差異を含むクローン。

TYPE-3 字句単位よりも大きな差異を含むクローン。

TYPE-3, TYPE-2, TYPE-1 のクローンは、この順でクローンとなっているコード片間に大きな差異が存在するため、この順で検出が難しいことが知られている。

これまでにさまざまな検出手法が提案されているが、クローンの定義は手法ごとに異なる [19], [21]。たとえば CCFinder のような字句単位の検出手法では、一定数以上連続して重複する字句の列がクローンとして検出される [9]。CloneDR のような抽象構文木を用いた検出では、まず対象ソースコードを解析することにより抽象構文木が生成され、同じ形状を持つ部分木がクローンとして検出される [2]。初期のクローン検出手法は TYPE-1 および TYPE-2 のクローンを検出対象とする場合がほとんどであったが、近年では字句単位や抽象構文木単位のクローン検出でも、TYPE-3 までを検出対象とする手法が提案されている [8], [20]。しかし、クローンの普遍的で厳密な定義は存在せず、各検出手法は独自にクローンの定義を持ち、その定義に基づいてクローンを検出するため、TYPE-1 から TYPE-3 までを検出する手法であっても、クローンの検出結果は手法ごとに異なる。本研究で利用したクローン検出技術については次節で述べる。

3.2 本研究におけるクローン検出

本研究では字句単位のクローン検出手法を利用し、TYPE-1 から TYPE-3 のクローンを検出した。字句単位のクローン検出手法は他の検出手法に比べて以下の特徴を持つ [3], [19], [28]。

- 検出の速度が速い。
- 検出結果が膨大になる傾向にある。つまり、漏れなくクローンを検出することは得意だが、検出結果には大量の誤検出が混じる傾向がある。
- 完全に同一なクローン (TYPE-1) や、変数名やリテラル等が異なるクローン (TYPE-2) を検出する。TYPE-3 クローンの検出は得意ではない。

著者らの研究グループでは、字句単位の長所を残しつつ短所を改善することを目的として、クローン検出ツール CloneGear を開発している*1。CloneGear は字句単位のクローン検出ツールであり、現在のところ、C/++、Java、Python、PHP、JavaScript に対応している。CloneGear は以下の特徴を持つ。

特徴 1 連続した変数宣言文等のプログラムの繰り返し部分からのクローン検出を行わない。この特徴により、人間が確認する必要のない単純な繰り返し部分からのクローンの検出を抑制できる。

特徴 2 類似したコード片が字句単位よりも大きな差異を含んでいたとしても、その全体を1つのクローンとして検出できる。この特徴により、TYPE-3 クローンの検出能力を向上できる。

特徴 1 は、著者らが過去に提案したソースコードの繰り返し部分を折りたたんだうえでクローンを検出する技術 [18] を利用して実現している。特徴 2 は、Smith-Waterman アルゴリズム [23] を利用することで実現している。いずれについても著者らが過去にその有効性を実験により示している [17], [18]。

本研究ではクローンがどれくらい存在しているかの指標として以下の3つのメトリクスを用いた。3つのメトリクスはいずれも対象プロジェクト単位で計測される。対象プロジェクトのソースコード規模が異なるため、いずれも正規化された値を持つメトリクスである。

DOC (Density Of Clones) 1,000行あたりのクローンの数を表すメトリクスである。対象システムから検出されたクローンの数を対象システムのキロ行数で除算することにより求める。

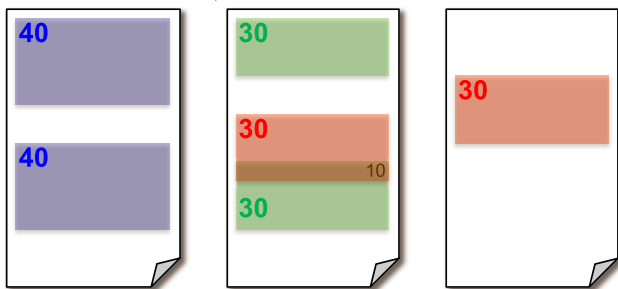
ROC (Ratio Of Clones) 対象システムを構成する字句のうち、いずれかのクローンに含まれている字句の割合である。クローンがまったくない場合に最小値 0%、すべての字句がクローンになっている場合に最大値 100%をとる。

*1 <https://github.com/YoshikiHigo/CloneGear>

表 2 クローンメトリクス値の算出結果
Table 2 Measurement results of clone metrics.

ベンダー	しきい値の字句数 50			しきい値の字句数 100			しきい値の字句数 150		
	DOC	ROC	DORF	DOC	ROC	DORF	DOC	ROC	DORF
V_A	11.66	12.3%	3.69	2.57	7.5%	0.59	1.07	4.4%	0.27
V_B	61.17	43.1%	5.24	35.93	38.7%	2.64	22.06	33.8%	1.75
V_C	24.85	22.4%	6.64	7.85	18.3%	1.77	3.76	13.7%	0.89
V_D	20.92	26.2%	10.56	6.30	19.1%	3.46	2.10	10.1%	0.95
V_E	30.18	22.1%	10.01	10.99	18.1%	3.03	4.99	13.1%	1.78
V_F	14.60	20.6%	2.81	5.93	17.3%	1.00	3.45	14.6%	0.60
V_G	17.38	19.6%	9.58	5.76	15.0%	3.50	1.46	6.7%	1.49
V_H	33.52	34.1%	7.95	13.62	29.4%	3.79	5.45	19.5%	2.23
V_I	32.86	32.1%	3.86	15.71	29.5%	2.78	5.20	17.9%	2.42

- 各ファイルは100字句を含む
- 同色のハイライトは、クローンになっているコード片を表す



$$DOC = \frac{2+3+1}{100+100+100} \times 1000 = \frac{6}{300} \times 1000 = 20$$

$$ROC = \frac{(40+40)+(30+30+30-10)+30}{100+100+100} \times 100 = \frac{190}{300} \times 100 = 63\%$$

$$DORF = \frac{1}{100+100+100} \times 1000 = \frac{1}{300} \times 1000 = 3.3$$

図 2 クローンメトリクスの計算例

Fig. 2 An example of metrics measurement.

DORF (Density of Related Files) 1,000行あたりの同じグループのクローンを共有しているファイルペア数を表す。対象システムにおいて同じグループのクローンを共有しているファイルペア数を対象システムのキロ行数で除算することにより求める。

図 2 は 3 つのメトリクスの計測例を表す。この例では 3 つのソースファイルがあり、3 つのクローンのグループが検出されている。クローンの各グループは異なった色でハイライトされている。各ファイルは 100 字句を含み、各グループのクローンはそれぞれ、40 字句、30 字句、30 字句を含むとする。この例では、各メトリクスは図 2 の下部に示す式で計算される。

各プロジェクトに対して、著者らは 3 つの設定を用いてクローンの検出を行った。設定の違いは検出する最小のクローンの大きさであり、それぞれ 50 字句、100 字句、150 字句以上のクローンを検出するように設定した。クローンの検出結果は誤検出と見逃しが少ないほど良いとされるが、誤検出と見逃しはトレードオフの関係にある。誤検出を少なくするような設定を利用してクローン検出を行えば

見逃しが増えてしまい、見逃しを少なくするような設定で検出を行えば誤検出が増えてしまう。

各設定は以下の意図により用いた*2。

50 字句 字句単位のクローン検出でよく利用されるしきい値である。このしきい値を用いた場合、クローンの検出ツールは見逃しは少ないが誤検出が多くなる傾向にある [9], [20]。

100 字句 誤検出を減らす目的で用いたしきい値である。見逃すクローンは多くなってしまう。

150 字句 できる限り誤検出を行わない目的で用いたしきい値である。さらに見逃すクローンは多くなる。

表 2 は上記の 3 つの設定を用いて検出したクローンから算出したクローンメトリクスの値を表している。すべてのメトリクスにおいて、大きなしきい値を用いるほどメトリクス値が小さくなっていることが分かる。

4. プロジェクトメトリクス

対象プロジェクトでは、発注元およびベンダーにおいてさまざまなメトリクスが記録されていた。本研究では、定量的な値を持つ以下のメトリクスを利用した。なお、これらのメトリクスの利用にあたり、クローンメトリクスと高い相関があるという仮定があるわけではない。利用可能なメトリクスをできるだけ多く利用してそのなかから相関があるメトリクスを見つけることが本実験のアプローチである。

規模に関するメトリクスとして以下のものを用いた。

〈ステップ数〉 ソースファイルの行数を基にした値である。

ただし、空行やコメント行は除く。

開発コストに関するメトリクスとして以下のものを用いた。

*2 50 字句は、クローン検出の研究でしばしば用いられる値である [9], [20]。100 字句および 150 字句は、著者らのこれまでのクローン検出の経験に基づく値である。企業で開発されたソフトウェアはオープンソースソフトウェアに比べてクローンの量が多い傾向がある。新規でクローン検出を行う場合は 50 字句をしきい値としてクローン検出を行い、非常に多くのクローンが検出された場合には設定を 100 字句に変更して再度クローン検出を行う、というのが通常の検出プロセスである。

〈開発期間〉 ベンダーが開発に要した期間を表す。

〈開発工数〉 ベンダーが開発に要した工数（人月）を表す。

〈規模/週〉 ベンダーの開発における週あたりの実装規模を表す。

テストに関するメトリクスとして以下のテスト件数を用いた。このメトリクスは、ベンダーテストにおけるテスト件数である。なお、発注元が納品された各ソースコードに対して行った受入テストは同一であるため、受入テストの件数は本研究では利用しない。

〈ベンダー UT・IT・ST 件数〉 ベンダーが単体テスト、結合テスト、システムテストを行うために作成したテストの件数を表す。

テストに関するメトリクスとして以下のテスト密度も用いた。テスト密度は、ベンダーにおけるテストの件数をそのときのソースコードのステップ数で割った値である。

〈ベンダー UT・IT・ST 密度〉 ベンダーが行った単体テスト、結合テスト、システムテストにおけるテスト密度を表す。

バグに関するメトリクスとして以下のバグ数を用いた。ベンダーテストに加えて、受入テストについてもバグ数のメトリクスを利用した。

〈ベンダー UT・IT・ST バグ数〉 ベンダーが行った単体テスト、結合テスト、システムテストにおいて発見されたバグの数を表す。

〈受入 UT・IT・ST バグ数〉 発注元が行った単体テスト、結合テスト、システムテストにおいて発見されたバグの数を表す。

バグに関するメトリクスとして、以下のバグ密度も用いた。バグ密度は、ベンダーテストにおいて、発見されたバグの数をそのときのソースコードのステップ数で割った値である。

〈ベンダー UT・IT・ST バグ密度〉 ベンダーが行った単体テスト、結合テスト、システムテストにおけるバグ密度を表す。

4.1 相関係数の計算

表 2 で示したクローンメトリクスと、4 章で示した各プロジェクトメトリクスの相関関係を分析した。具体的には、クローンメトリクスの降順で並べたプロジェクトの順序とプロジェクトメトリクスの降順で並べたプロジェクトの順序がどの程度同じであるのかを Spearman の順位相関係数を計算することで調査した。クローン検出の設定が 3 つあり、各検出結果について 3 つのクローンメトリクス値がある。そのため、各プロジェクトメトリクスに対して 9 つの相関係数が得られることになる。

5. 実験の結果

図 3 は Spearman の順位相関係数（以降、 ρ と表す）の

計算結果を表している。この実験では 3 つの設定を用いてクローン検出を行ったため、各プロジェクトメトリクスにおける各クローンメトリクスの ρ は 3 つ存在する。各プロジェクトメトリクスに対する各クローンメトリクスにおいて、線分が表示されている。線分の上端と下端はそれぞれ ρ の最大値と最小値を表している。中央値は \times で示されている。クローンメトリクス名に付随している数値は、その線分を構成する ρ の p 値が 0.017 以下であった数を表している。0.017 を用いた理由は $(1 - 0.017)^3 \approx 0.95$ となるからである。つまり、3 つの検定結果に 1 つも偶然の結果が含まれていないことが 95% 以上の確率であるためには、個々の検定結果は 98.3% 以上の確率で偶然でないことが求められるため、0.017 を用いた。各線分には 3 つの ρ の値が含まれるため、数値の最大値は 3 となる。本実験では、 $|\rho|$ が 0.4 以上のときにプロジェクトメトリクスとクローンメトリクスの間に相関があるとし、相関がある場合をさらに以下のように 3 つに分類した。

強い相関 $0.9 \leq |\rho|$

中程度の相関 $0.7 \leq |\rho| < 0.9$

弱い相関 $0.4 \leq |\rho| < 0.7$

図 3 では、正の相関部分は青、負の相関部分は赤で示されており、相関が強いほど濃く強調表示されている。この実験では、7 つのプロジェクトメトリクスが有意水準 0.017 においていずれかのクローンメトリクスと正または負の相関があるという結果であった。

以下のプロジェクトメトリクスとクローンメトリクスの組合せは、有意に強いもしくは中程度の相関があったものである。

- (1) 規模/週と ROC に中程度の正の相関
- (2) 受入 IT バグ数と DOC に強い正の相関
- (3) 受入 IT バグ数と ROC に中程度の正の相関
- (4) ベンダー IT バグ数と DORF に中程度の正の相関
- (5) ベンダー IT バグ密度と DORF に中程度の正の相関
- (6) ベンダー UT 件数と DORF に中程度の負の相関
- (7) ベンダー UT バグ密度と DORF に中程度の負の相関
- (8) 受入 UT バグ数と DORF に強い正の相関
- (9) 受入 IT バグ数と DORF に中程度の正の相関

上記以外にも相関係数の値が 0.4 を超えている組合せは存在したが（たとえば、ステップ数と DOC の相関係数）、その p 値が 0.017 を超えていたため、その結果は有意ではない（偶然の可能性が高い）として扱った。

以上のことから、ソフトウェア開発プロジェクトとクローンの存在には以下の関係があると著者らは考えた。

- (1) は、ソースコードが重複している割合が高いほど、週あたりの実装規模が大きいことを表している。クローンの生成理由がコピーアンドペーストであると仮定すれば、コピーアンドペーストによるコードの再利用が実装のスピードの向上に貢献していると考えらるこ

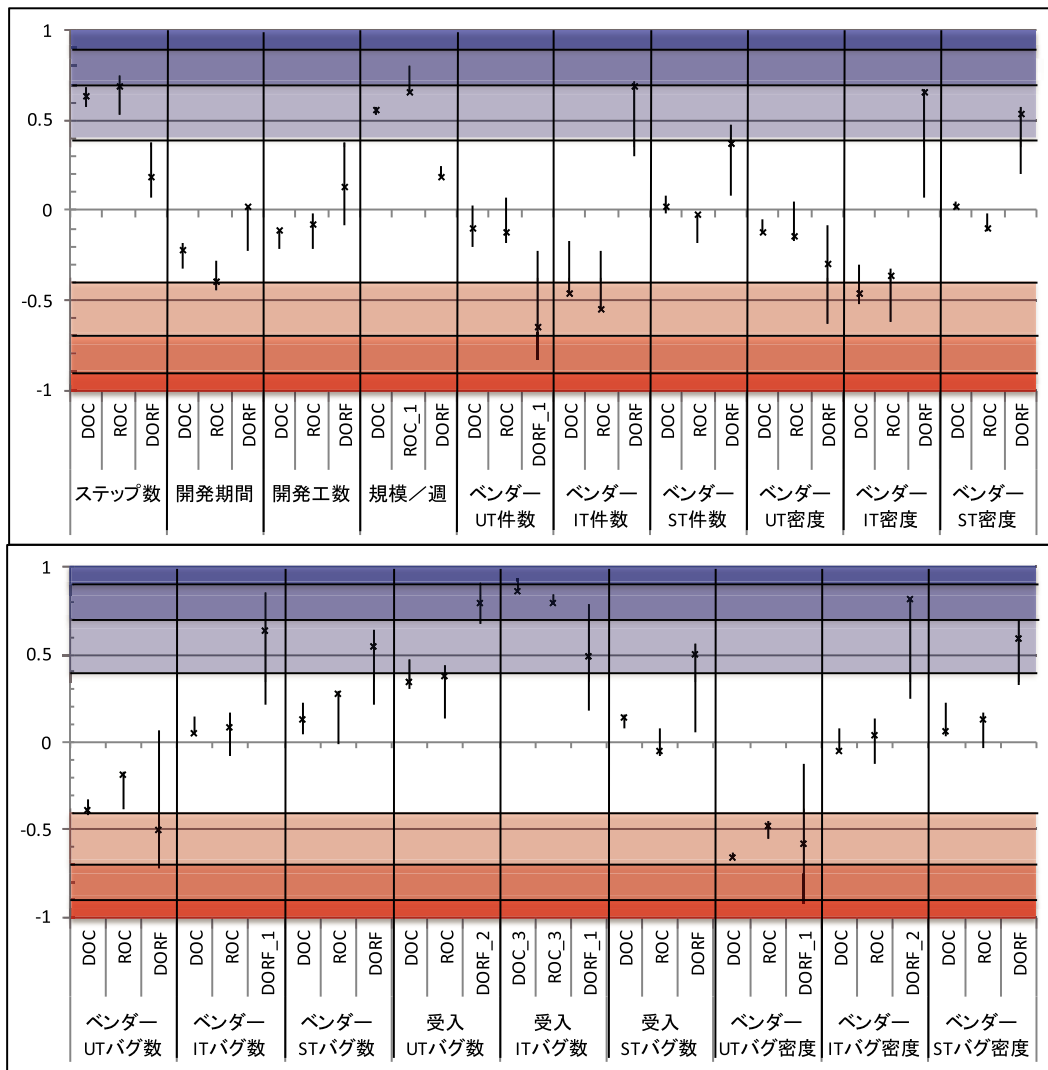


図 3 クローンメトリクスとプロジェクトメトリクス間の相関係数の計算結果 (クローンメトリクスに続く数値は p 値が 0.017 以下であった検定の数を表している)

Fig. 3 Correlation coefficient between clone metrics and project metrics. The number following the metrics names means the number of significant correlations (p-value is 0.017 or less).

とができる。しかし、開発工数と ROC の間には相関が見られなかったことから、コピーアンドペーストによる開発が開発工数の削減に貢献しているわけではないといえる。

- (2) と (3) は、クローンの数が多かったり、ソースコードが重複している割合が高かったりすると、受入結合テストにおいて多くのバグが検出される傾向であることを表している。つまり、クローンの量が多いとベンダーの結合テストにおいてバグを見逃しがちであることを示唆している。
- (4) と (5) は、多くのファイルがクローンを共有しているほど、ベンダーにおける結合テストで多くのバグが見つかることといえる。しかし、(6) と (7) は、多くのファイルがクローンを共有しているほど、ベンダーにおける単体テストでバグがあまり見つかり

ないことを表している。そのため、多くのファイルがクローンを共有していることが結合テストに良い影響を与えているのではなく、バグがより後工程で見つかるようになったと著者らは考えた。

- (8) と (9) は、多くのファイルがクローンを共有しているほど、受入単体テストや受入結合テストで多くのバグが見つかることを表している。これは、ベンダーにおける単体テストや結合テストで多くのバグを見逃したということである。多くのファイルがクローンを共有している場合は、ベンダーがテストの品質を担保することが難しくなると著者らは考えた。

以上の考察より、本実験で用いたプロジェクトメトリクスの範囲内では、クローンの存在はテストに悪影響を与えていると結論づけた。

6. 実験の妥当性について

本実験では有意水準 0.017 のもとで検定を行った。これは、用いたクローンの検出結果が3つあり、そのすべてが偶然の結果ではないことを 95%担保するための設定である。

本実験で利用した3つのクローンメトリクスの各ペア間の ρ の計算結果を図 4 に示す。各ペアの ρ は3つ存在する。この図の表記は、図 3 と同様である。この図より、DOC と ROC の3つの相関係数はいずれも非常に高く、そのすべての p 値は 0.017 以下であることが分かる。つまり、DOC と ROC の相関は非常に高い。そのため、5章の(1)~(9)の項目のうち、(2)と(3)は別項目となっているが、1つの事象についての結果となる。

また、本実験では57の相関係数(19のプロジェクトメトリクスと3つのクローン検出結果)を算出した。そのため、FDR法のような多重検定法を用いるのも1つの方法であったらう。

実験対象で利用した9つのシステムは、見つけたバグの位置についてはファイル単位の情報のみを含んでいた。そのため、各バグがクローンの内部に存在していたのか、クローンとそうでない部分の境界に存在していたのか、クローンとは関係のない部分に存在していたのかは不明である。

今回の実験は1つの対象プロジェクト群にしか適用できていない。そのため今回の実験結果がどの程度他のプロジェクト群に対して当てはまるかは現在のところ不明である。今回の対象プロジェクト群は特殊であるため、同種の他のプロジェクト群に対して同様の実験を行うのは難し

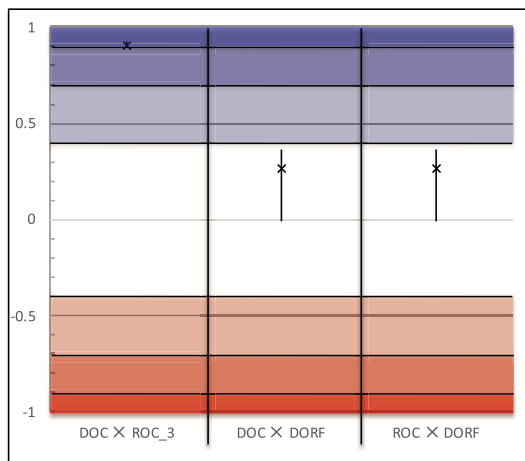


図 4 各クローンメトリクス間の相関係数の計算結果(クローンメトリクスに続く数値は p 値が 0.017 以下であった検定の数を表している)

Fig. 4 Correlation coefficient between each pair of clone metrics. The number following the metrics names means the number of significant correlations (p-value is 0.017 or less).

い。しかし、たとえば、同じ開発者チームによって開発された同じドメインのプロジェクト群を対象とする等、できるだけ対象プロジェクト群の素性を揃えて同種の実験を行うことには価値があると著者らは考える。

7. 関連研究

本章では、既存のクローンに関する研究を紹介する。クローンの研究はこれまでに膨大な量が行われておりそのすべてを網羅することは現実的ではないため、本論文では、以下の3点に焦点を絞り、紹介する。

- クローンがソフトウェアに与える影響の調査
- クローン情報を利用したコードの変更支援
- クローン生成理由の調査

本論文の調査は、「クローンがソフトウェアに与える影響の調査」に分類される。本論文では、クローンの量が多いほど実装スピードが速い傾向にあること、および、クローンの量が多いほどテストにおいてバグの見逃しが増える傾向にあることを示したことが新しい。

7.1 クローンがソフトウェアに与える影響の調査

Monden らは、COBOL で記述されたソフトウェアに対してクローンとソースファイルの改版数の関係を調査した [16]。その結果、80%以上がクローンになっているソースファイルや、200 行以上のクローンを含むソースファイルは、他のソースファイルに比べて改版数が多くなる傾向であることが分かった。

Göde らは、C もしくは Java で記述された3つのオープンソースソフトウェアを対象として、クローンに対して行われる変更について調査を行った [5]。彼らの調査では、約 88%のクローンは生成された後にまったく変更がされず、クローンに対して行われる変更のうちの約 15%が不注意による一貫性の欠如を引き起こしていたという結果であった。

堀田らは、クローンに対する変更の頻度とクローンではない部分に対する変更の頻度を調査した [29]。調査対象は C/C++ もしくは Java で記述された 15 のオープンソースソフトウェアである。調査の結果、クローンはそうでない部分に比べて変更される頻度が少ないという結果であった。

Saini らは、クローンになっているメソッドとそうでないメソッドの間での種々のメトリクスの値が異なるのかを調査した [22]。調査対象のメトリクスは McCabe の複雑度 [14] や Halstead のソフトウェアサイエンス [6] のようによく利用される伝統的なメトリクスから、引数の数やループの数等のようにプログラム要素の数を単純にカウントしたメトリクス等さまざまであり、計 27 種が計測された。その結果、メソッドのサイズはクローンになっているメソッドのほうが約 29%小さくなるという傾向であったが、他のメトリクスの場合はほとんど差がないという結果であった。

コピーアンドペーストを用いた開発が望ましい場合もあ

るとの報告もされている [10]. たとえば, 新しい機能を追加する場合に, 機能を追加する周辺のコードのクローンを作成し, そこに新しい機能を作成する. 新しい機能を追加した部分の動作が安定してくると, その部分をコピー元へと移す. このような手順で開発を行うことにより, 新しい機能追加に起因するバグの発生を稼働中のシステムにおいて抑えることができる. Kapsler らは 2 つのオープンソースソフトウェアについて調査を行い, 71% のクローンはソフトウェアの保守性に良い影響を与えていたと報告している.

7.2 クローン情報を利用したコードの変更支援

Inoue らは, クローン間の変数の対応付けに着目したバグ検出手法を考案した [7]. コピーアンドペーストによりクローンが生成された後, 変数名がペースト後の文脈に合わせて変更されたとしても, クローン間では変数の対応付けが保たれている場合が多い. そのため, クローン間で変数の対応付けが保たれていない場合はバグの可能性があると見て, そのようなクローンを検出するツール CloneInspector を開発した. CloneInspector を企業で開発された 2 つの携帯端末関係のソフトウェアに適用したところ, 68 のクローンが検出され, そのうちの 26 がバグを含んでいた.

Yamanaka らは, クローンの変更管理システムを作成し, 実プロジェクトへの適用を行った [24]. 彼らの変更管理システムは, バージョン管理システムに登録されている最新バージョンのソースコードとその前のバージョンのソースコードからそれぞれクローンを検出し, その 2 つの検出結果において対応が取れなかったクローンを変更が行われたクローンとして開発者に通知する. ある企業のソフトウェア開発プロジェクトにこの変更管理システムを適用した結果, 開発者が把握していなかったクローンに対して変更が行われ, その情報が開発者に電子メールにより何度か通知された. 開発者はその情報に基づいてクローンの把握や集約を行うことができた.

Chatterji らは, 43 人の大学院生を対象として, クローン情報を利用したバグの原因箇所特定に関する実験を行った [4]. 実験では, バグの原因箇所を 1 つ見つけた後にクローン情報を利用してその他のコード片もチェックするやり方は効率的に他のバグ原因箇所を見つけることができた. その一方で, バグの原因箇所を見つける前に, クローン情報を利用してコード片を閲覧していく方法では効率的にバグの原因箇所を見つけることができなかった.

Tsunoda らは, バグを含むモジュールの予測モデルにクローンメトリクスを組み込む場合は, 複数種類の検出結果を利用したほうがモデルの予測精度が良くなることを実験により示した [13]. 彼らは CCFinderX, PMD's Copy/Paste Detector, Simian, Nicad の 4 つのソフトウェアそれぞれを 2 つの設定を用いてクローン検出を行い, 8 種類の検出結果を得た. それぞれのクローン検出結果から対象ソース

コードの重複度を算出し, それを予測モデルに組み込むことにより評価を行った. いずれかのクローンメトリクスを組み込んだ 8 種類の予測モデルに加え, すべてのクローンメトリクスを組み込んだ予測モデル, いずれのクローンメトリクスも組み込まない予測モデルの, 計 10 種類の予測モデルの比較評価を行った. その結果, すべてのクローンメトリクスを組み込んだ予測モデルが最も精度が高いという結果であった. 単一のクローンメトリクスを組み込んだ予測モデルの中には, クローンメトリクスを組み込まない予測モデルに比べて精度が劣るものも存在した.

7.3 クローンの生成理由の調査

Zhao らは 10 年以上保守されている通信系のソフトウェアの開発者 21 人に対して, クローンの生成に関する調査を行った [25]. その結果, クローンを生成する理由として, 既存コードの変更によるバグの混入を防ぐ, 1 つのモジュールに集約するのが難しいという理由に加えて, 開発時間の制限上しかたなくクローンを生成したという組織的な理由や, 他人のコードをコピーして変更を行うことで自分自身のコーディングスキルを上達させたいという個人的な理由があることが分かった.

8. おわりに

本論文では, プロジェクトメトリクスとクローンの相関関係を分析した結果について報告した. 分析対象は同一の仕様に基づいて開発された 9 つのシステムであり, すべて別の組織によって開発された. 実験の結果, 以下のことが判明した.

- クローンの量が多いほど, 実装スピードが速い傾向にある.
- クローンの量が多いほど, テストにおいてバグの見逃しが増える傾向にある.

この結果より, クローンの検出結果はテストの実施状況の確認に利用できると著者らは考えた. 具体的には, 多数のクローンが検出された場合やソースコードの大部分がクローンだった場合には結合テストの実施状況を確認したり, 多くのファイルがクローンを共有していた場合には単体テストの実施状況を確認したり, という作業がテストが不十分な状態でソフトウェア開発が次の工程に移行してしまうことを予防する 1 つの手段となりうる.

今後の研究方針として, 著者らは DORF メトリクスについてさらに調査を行うことを計画している. このメトリクスはクローンの量そのものではなく, クローンを共有しているファイルの数を表している. DORF が高い場合は多くのファイルがクローンを共有していることを意味している. 著者らは DORF メトリクスがソフトウェアの設計の粗悪さを表しているのではないかと考えており, 今後このメトリクスの有用性について研究を行う予定である.

参考文献

- [1] Barbour, L., Khomh, F. and Zou, Y.: An Empirical Study of Faults in Late Propagation Clone Genealogies, *Journal of Software: Evolution and Process*, Vol.25, No.11, pp.1139–1165 (2007).
- [2] Baxter, I.D., Yahin, A., Moura, L., Sant’Anna, M. and Bier, L.: Clone Detection Using Abstract Syntax Trees, *Proc. International Conference on Software Maintenance*, pp.368–377 (1998).
- [3] Bellon, S., Koschke, R., Antoniol, G., Krinke, J. and Merlo, E.: Comparison and Evaluation of Clone Detection Tools, *IEEE Trans. Software Engineering*, Vol.33, No.9, pp.577–591 (2007).
- [4] Chatterji, D., Carver, J.C., Massengil, B., Oslin, J. and Kraft, N.A.: Measuring the Efficacy of Code Clone Information in a Bug Localization Task: An Empirical Study, *Proc. 2011 International Symposium on Empirical Software Engineering and Measurement*, pp.20–29 (2011).
- [5] Göde, N. and Koschke, R.: Frequency and Risks of Changes to Clones, *Proc. 33rd International Conference on Software Engineering*, pp.311–320 (2011).
- [6] Halstead, M.H.: *Elements of Software Science (Operating and Programming Systems Series)*, Elsevier Science Inc. (1977).
- [7] Inoue, K., Higo, Y., Yoshida, N., Choi, E., Kusumoto, S., Kim, K., Park, W. and Lee, E.: Experience of Finding Inconsistently-changed Bugs in Code Clones of Mobile Software, *Proc. 6th International Workshop on Software Clones*, pp.94–95 (2012).
- [8] Jiang, L., Mishergchi, G., Su, Z. and Glondu, S.: DECKARD: Scalable and Accurate Tree-Based Detection of Code Clones, *Proc. 29th International Conference on Software Engineering*, pp.96–105 (2007).
- [9] Kamiya, T., Kusumoto, S. and Inoue, K.: CCFinder: A Multilingualistic Token-based Code Clone Detection System for Large Scale Source Code, *IEEE Trans. Software Engineering*, Vol.28, No.7, pp.654–670 (2002).
- [10] Kapser, C.J. and Godfrey, M.W.: “Cloning Considered Harmful” Considered Harmful: Patterns of Cloning in Software, *Empirical Software Engineering*, Vol.13, No.6, pp.645–692 (2008).
- [11] Li, Z., Lu, S., Myagmar, S. and Zhou, Y.: CP-Miner: Finding Copy-Paste and Related Bugs in Large-Scale Software Code, *IEEE Trans. Software Engineering*, Vol.32, No.3, pp.176–192 (2006).
- [12] Lozano, A. and Wermelinger, M.: Assessing the Effect of Clones on Changeability, *Proc. 24th International Conference on Software Engineering*, pp.227–236 (2008).
- [13] Tsunoda, M., Kamei, Y. and Sawada, A.: Assessing the Differences of Clone Detection Methods Used in the Fault-prone Module Prediction, *Proc. 10th Internal Workshop on Software Clones*, pp.15–16 (2016).
- [14] McCabe, T.J.: A Complexity Measure, *IEEE Trans. Software Engineering*, Vol.2, No.4, pp.308–320 (1976).
- [15] Mondal, M., Roy, C.K., Rahman, M.S., Saha, R.K., Krinke, J. and Schneider, K.A.: Comparative Stability of Cloned and Non-cloned Code: An Empirical Study, *Proc. 27th Annual ACM Symposium on Applied Computing*, pp.1227–1234 (2012).
- [16] Monden, A., Nakae, D., Kamiya, T., Sato, S.-I. and Matsumoto, K.-I.: Software Quality Analysis by Code Clones in Industrial Legacy Software, *Proc. 8th International Symposium on Software Metrics*, pp.87–94 (2002).
- [17] Murakami, H., Hotta, K., Higo, Y., Igaki, H. and Kusumoto, S.: Folding Repeated Instructions for Improving Token-Based Code Clone Detection, *Proc. 12th International Working Conference on Source Code Analysis and Manipulation*, pp.64–73 (2012).
- [18] Murakami, H., Hotta, K., Higo, Y., Igaki, H. and Kusumoto, S.: Gapped Code Clone Detection with Lightweight Source Code Analysis, *Proc. 21st International Conference on Program Comprehension*, pp.93–102 (2013).
- [19] Rattan, D., Bhatia, R. and Singh, M.: Software Clone Detection: A Systematic Review, *Information and Software Technology*, Vol.55, No.7, pp.1165–1199 (2013).
- [20] Roy, C.K. and Cordy, J.R.: NICAD: Accurate Detection of Near-Miss Intentional Clones Using Flexible Pretty-Printing and Code Normalization, *Proc. 16th International Conference on Program Comprehension*, pp.172–181 (2008).
- [21] Roy, C.K., Cordy, J.R. and Koschke, R.: Comparison and evaluation of code clone detection techniques and tools: A qualitative approach, *Science of Computer Programming*, Vol.74, No.7, pp.470–495 (2009).
- [22] Saini, V., Sajnani, H. and Lopes, C.: Comparing Quality Metrics for Cloned and non cloned Java Methods: A Large Scale Empirical Study, *Proc. 32nd International Conference on Software Maintenance and Evolution*, pp.256–266 (2016).
- [23] Smith, T.F. and Waterman, M.S.: Identification of Common Molecular Subsequences, *Journal of Molecular Biology*, Vol.147, No.1, pp.195–197 (1981).
- [24] Yamanaka, Y., Choi, E., Yoshida, N., Inoue, K. and Sano, T.: Applying Clone Change Notification System into an Industrial Development Process, *Proc. 21th International Conference on Program Comprehension*, pp.199–206 (2013).
- [25] Zhao, W., Xing, Z., Peng, X. and Zhang, G.: Cloning Practices: Why Developers Clone and What Can Be Changed, *Proc. 28th International Conference on Software Maintenance*, pp.285–294 (2012).
- [26] 神谷年洋, 肥後芳樹, 吉田則裕: コードクローン検出技術の展開, コンピュータソフトウェア, Vol.28, No.3, pp.28–42 (2011).
- [27] 肥後芳樹, 楠本真二: コード修正履歴情報を用いた修正漏れの自動検出, 情報処理学会論文誌, Vol.54, No.5, pp.1686–1696 (2013).
- [28] 肥後芳樹, 楠本真二, 井上克郎: コードクローン検出とその関連技術, 電子情報通信学会論文誌 D, Vol.J91-D, No.6, pp.1465–1481 (2008).
- [29] 堀田圭佑, 佐野由希子, 肥後芳樹, 楠本真二: 修正頻度の比較に基づくソフトウェア修正作業量に対する重複コードの影響に関する調査, 情報処理学会論文誌, Vol.52, No.9, pp.2788–2798 (2011).
- [30] 堀田圭佑, 肥後芳樹, 楠本真二: 生成防止, 分析効率化, 不具合検出を中心としたコードクローン管理支援技術に関する研究動向, コンピュータソフトウェア, Vol.31, No.1, pp.14–29 (2014).



肥後 芳樹 (正会員)

2002年大阪大学基礎工学部情報科学科中退。2006年同大学大学院博士後期課程修了。2007年同大学大学院情報科学研究科コンピュータサイエンス専攻助教。2015年同准教授。博士(情報科学)。ソースコード分析、特にコードクローン分析、リファクタリング支援およびソフトウェアリポジトリマイニングに関する研究に従事。電子情報通信学会、日本ソフトウェア科学会、IEEE各会員。



星野 隆 (正会員)

1989年電気通信大学電気通信学部通信工学科卒業。1991年同大学大学院電気通信学研究科電子情報学専攻博士前期課程修了。同年日本電信電話株式会社入社。データベース、データ統合・流通システム、企業向けソリューション、ソフトウェア開発技術に関する研究開発に従事。



裕本 真佑 (正会員)

2010年奈良先端科学技術大学院大学博士後期課程修了。同年神戸大学大学院システム情報学研究科特命助教。2016年大阪大学大学院情報科学研究科助教。博士(工学)。エンピリカルソフトウェア工学の研究に従事。



楠本 真二 (正会員)

1988年大阪大学基礎工学部卒業。1991年同大学大学院博士課程中退。同年同大学基礎工学部助手。1996年同講師。1999年同助教。2002年同大学大学院情報科学研究科助教授。2005年同教授。博士(工学)。ソフトウェアの生産性や品質の定量的評価に関する研究に従事。電子情報通信学会、IEEE、IFPUG各会員。



藤波 崇志

1994年京都大学工学部数理工学科卒業。1996年奈良先端科学技術大学院大学情報科学研究科情報システム学専攻博士前期課程修了。同年日本電信電話株式会社入社。現在、ソフトウェア開発技術に関する研究開発に従事。